

การเพิ่มประสิทธิภาพของระบบแยกทิเวเต็คสลัชช์
ในการกำจัดน้ำเสียจากโรงงานฟอกซ้อมด้วยการเติมผงถ่านกัมมันต์

นาย กมลรัตน์ ดีประเสริฐวงศ์



วิทยานิพนธ์นี้เป็นส่วนหนึ่งของการศึกษาตามหลักสูตรปริญญาวิศวกรรมศาสตรมหาบัณฑิต
ภาควิชาวิศวกรรมสิ่งแวดล้อม
บัณฑิตวิทยาลัย จุฬาลงกรณ์มหาวิทยาลัย
ปีการศึกษา 2539

ISBN 974-636-236-4

ลิขสิทธิ์ของบัณฑิตวิทยาลัย จุฬาลงกรณ์มหาวิทยาลัย

I 17362210

ENHANCEMENT OF ACTIVATED SLUDGE SYSTEM FOR TEXTILE
WASTE TREATMENT BY ADDITION OF POWDER ACTIVATED CARBON

Mr. Kamonrat Deeprasertwong

A Thesis Submitted in Partial Fulfillment of the Requirements
for the Degree of Master of Engineering
Department of Environmental Engineering
Graduate School
Chulalongkorn University
Academic Year 1996

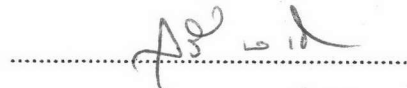
หัวข้อวิทยานิพนธ์ การเพิ่มประสิทธิภาพของระบบเอกสารที่เว็ปเดลลัคจีในการกำจัดนำเสียจาก
รายงานฟอกซ้อมด้วยการเติมผงถ่านกัมมันต์
โดย นาย กมลรัตน์ ดีประเสริฐวงศ์
ภาควิชา วิศวกรรมสิ่งแวดล้อม
อาจารย์ที่ปรึกษา รองศาสตราจารย์ ดร. มั่นสิน ตัณฑุลาเวศน์

บัณฑิตวิทยาลัย จุฬาลงกรณ์มหาวิทยาลัย อนุมัติวิทยานิพนธ์ฉบับนี้เป็นส่วนหนึ่งของการ
ศึกษาตามหลักสูตรปริญญามหาบัณฑิต

 .. คณบดีบัณฑิตวิทยาลัย

(ศาสตราจารย์ นายแพทย์ ศุภวัฒน์ ชุติวงศ์)

คณะกรรมการสอบวิทยานิพนธ์

 .. ประธานกรรมการ

(รองศาสตราจารย์ สุรี ขาวเชียร)

 .. อาจารย์ที่ปรึกษา

(รองศาสตราจารย์ ดร. มั่นสิน ตัณฑุลาเวศน์)

 .. กรรมการ

(อาจารย์ ชัยพร ภู่ประเสริฐ)

พิมพ์ดันจับบทด้วยอวิทยานิพนธ์ภาษาไทยในกรอบสีเขียวนี้เพียงแผ่นเดียว

กมลรัตน์ ตีประเสริฐวงศ์ : การเพิ่มประสิทธิภาพของระบบแยกกิ่งเต็คสลัดช์ในการกำจัดน้ำเสียจากโรงงาน
แยกกิ่งด้วยการเติมผงถ่านกัมมันต์ (ENHANCEMENT OF ACTIVATED SLUDGE SYSTEM FOR
TEXTILE WASTE TREATMENT BY ADDITION OF POWDER ACTIVATED CARBON)
อ.ที่ปรึกษา : รศ.ดร.มนัสิน ตัณฑุลาเวสเมร์, 174 หน้า, ISBN. 974-636-236-4

งานวิจัยครั้งนี้ เป็นการศึกษาถึงอิทธิพลของผงถ่านกัมมันต์ที่มีต่อประสิทธิภาพการทำงานของระบบ
แยกกิ่งเต็คสลัดช์ โดยใช้น้ำเสียจริงที่มีสารเคมีซึ่งเป็นส่วนใหญ่จากโรงงานฟอกห้องผ้าและด้ายฝ้าย น้ำเสียดังกล่าวมีค่าซีไอดีอยู่
ในช่วง 229-280 มก./ล. มีค่าสีอยู่ในช่วง 89-122 Su.

จากการทดลองพบว่า เมื่อเติมผงถ่านกัมมันต์ที่มีความเข้มข้น 0, 25, 50, 100, 150 และ 215 มก./ล. ลงในระบบ
แยกกิ่งเต็คสลัดช์ที่มี เวลาถักน้ำ 2 ชั่วโมง ค่าซีไอดีลดลง 7% ตามลำดับ จะมีค่า MLSS เหลือ 40 mg/l ในสิ่งที่มีค่า SVI เหลือ 100 mg/l.
เวลาถักน้ำ 374, 527, 699, 1090, 1506 และ 1729 มก./ล. และมีค่า SVI เหลือ 47, 58, 58, 33, 30 และ 33 ml/g. ตาม
ลำดับ ผลการบำบัดปรากฏว่า น้ำทึบซีไอดีลดลง 72, 60, 60, 58, 53 และ 39 mg/l. ตามลำดับ และมีสีเข้มข้น
เหลือ 80, 69, 59, 45, 32 และ 35 Su. ตามลำดับ ประสิทธิภาพในการกำจัดซีไอดีเหลือ 70, 74, 74, 79, 81 และ
84 % ตามลำดับ และประสิทธิภาพในการกำจัดสีเหลือ 18, 26, 37, 50, 64 และ 68 % ตามลำดับ ผลการทดลองแสดง
ได้ว่า ผงถ่านกัมมันต์สามารถเพิ่มประสิทธิภาพการกำจัดสีของระบบแยกกิ่งเต็คสลัดช์ได้อย่างชัดเจนและทำให้สลัดช์ของ
ระบบแยกกิ่งเต็คสลัดช์ตกร่องได้ช้าลง แต่ไม่สามารถเพิ่มประสิทธิภาพการกำจัด ซีไอดีได้มากนัก

ผลการทดลองยังแสดงอีกว่า ระบบแยกกิ่งเต็คสลัดช์รับความสามารถกำจัดซีไอดีให้เหลือต่ำกว่ามาตรฐานของ
กระทรวงวิทยาศาสตร์ เทคโนโลยีและสิ่งแวดล้อมที่กำหนดไว้ที่ 120 mg/l. ได้ แต่สามารถกำจัดสี จากระดับเข้มข้นสีประมาณ
100 Su. ให้เหลือประมาณ 80 Su. เท่านั้น แม้ว่าระบบแพคท์ที่ความเข้มข้นผงถ่านกัมมันต์เท่ากับ 200 mg/l. จะบำบัดสีได้
เหลือประมาณ 30 Su. แต่ต้องเสียค่าใช้จ่ายของผงถ่านกัมมันต์ที่ต้องเติมในระบบแยกกิ่งเต็คสลัดช์ประมาณ 8 บาท/m³ ซึ่ง
ไปกว่านั้นสลัดช์ที่เกิดขึ้นในระบบแพคท์ยังมีค่ามากกว่าสลัดช์ในระบบแยกกิ่งเต็คสลัดช์ถึง 4.5 เท่า

ภาควิชา	วิศวกรรมสิ่งแวดล้อม	ลายมือชื่อนิสิต
สาขาวิชา	วิศวกรรมสิ่งแวดล้อม	ลายมือชื่ออาจารย์ที่ปรึกษา
ปีการศึกษา	2539	ลายมือชื่ออาจารย์ที่ปรึกษาร่วม

พิมพ์ด้วยระบบคอมพิวเตอร์วิทยานิพนธ์ภาษาไทยในกรอบสีเขียวเพียงแผ่นเดียว

C717885 : MAJOR ENVIRONMENTAL ENGINEERING

KEY WORD: POWDER ACTIVATED CARBON / PACT / REACTIVE DYE

KAMONRAT DEEPRASERTWONG: ENHANCEMENT OF ACTIVATED SLUDGE SYSTEM FOR TEXTILE WASTE TREATMENT BY ADDITION OF POWDER ACTIVATED CARBON. THESIS ADVISOR:

ASSO. PROF. MUN SIN TUNTOOLAVEST, Ph.D. 174 pp.
ISBN 974-636-236-4

The purpose of this study is to investigate the effects of PAC upon the enhancement of AS for textile waste treatment. The wastewater from the cotton fabric and thread dyeing plant containing mostly reactive dyes was used, having COD concentration between 229-280 mg/l and colour between 89-122 Su.

The PAC doses of 0, 25, 50, 100, 150 and 215 mg/l were studied in the AS system which were operated at a hydraulic retention time and a sludge retention time of 1 day and 7 days respectively. The average MLSS in the aeration tank were 374, 527, 699, 1090, 1506 and 1729 mg/l and the average SVI were found to be 47, 58, 58, 33, 30 and 33 ml/g respectively. The average effluent COD were found to be 72, 60, 60, 58, 53 and 39 mg/l respectively; and the effluent colour of 80, 69, 59, 45, 32 and 35 Su respectively, were obtained. The average COD removal were 70, 74, 74, 79, 81 and 84 % respectively; and the colour removal of 18, 26, 37, 50, 64 and 68% respectively, were obtained. This experiment clearly showed that the addition of PAC to the AS system significantly increased the colour removal efficiency and improved the settleability of sludge but could only slightly increase the COD removal efficiency.

According to the experiments, the AS process alone was found to remove COD below the effluent standard issued by the Ministry of Science, Technology and Environment, of 120 mg/l but was able to remove the colour approx. from 100 Su to 80 Su. The PACT system was found to remove the colour down to approx. 30 Su at the PAC dose of 200 mg/l but the cost of this PAC dosage was about 8 baht/m³. Furthermore, about 4.5 times of sludge was produced from the PACT system more than the AS system.

ภาควิชา วิศวกรรมสิ่งแวดล้อม
สาขาวิชา วิศวกรรมสิ่งแวดล้อม
ปีการศึกษา 2539

ลายมือชื่อนิสิต รุ่งอรุณรัตน์
ลายมือชื่ออาจารย์ที่ปรึกษา เอนก ตันตระวงศ์
ลายมือชื่ออาจารย์ที่ปรึกษาร่วม



กิตติกรรมประกาศ

งานวิจัยฉบับนี้เริ่มต้นและสืบสุดลงด้วยข้อเสนอแนะและการอบรมสั่งสอนทั้งทางทฤษฎี และทางภาคปฏิบัติตลอดจนแนวความคิดต่าง ๆ ที่สามารถนำไปใช้เพื่อความก้าวหน้าในชีวิต จาก รองศาสตราจารย์ ดร.นันสิน ตันตุลยวัฒน์ อาจารย์ที่ปรึกษาวิทยานิพนธ์ ผู้วิจัยคร่ำครวบของ พระคุณเป็นอย่างสูงไว้ ณ. โอกาสนี้

ขอขอบพระคุณ คณาจารย์ภาควิชาศึกกรรมสิ่งแวดล้อมทุกท่าน ที่ได้ถ่ายทอดความรู้ต่าง ๆ ให้แก่ผู้วิจัย

ขอขอบพระคุณ บริษัท แซนอี 68 คอนซัลแทนท์ จำกัด ที่ให้ความอนุเคราะห์เกี่ยวกับการ เก็บน้ำเสียในงานวิจัย

ขอขอบพระคุณ บริษัท แซนอี 68 และ จำกัด ที่อนุเคราะห์การวิเคราะห์น้ำเสียบางอย่างใน งานวิจัย

ขอขอบพระคุณ บริษัท พัฒนาฝ้าไทย และ บริษัท อุตสาหกรรมรามาเท็กซ์ไทร์(1988) จำกัด ที่อนุญาติให้นำน้ำเสียเพื่อมาใช้ในงานวิจัย

ขอขอบพระคุณ บ้านพิเศษฯ จุฬาลงกรณ์มหาวิทยาลัย ที่ให้ทุนอุดหนุนส่วนหนึ่งที่ใช้ใน งานวิจัย

ขอขอบพระคุณ พี่ น้อง และ เพื่อน ทุกท่านที่ให้กำลังใจและให้ความช่วยเหลือผู้วิจัยมา ตลอด

ท้ายที่สุด คุณค่าต่าง ๆ ที่ได้จากวิทยานิพนธ์ฉบับนี้ขอนอบแด่ บิดา-มารดา ที่ให้กำลังใจผู้ วิจัยตลอดมา

สารบัญ

	หน้า
บทคัดย่อภาษาไทย	๔
บทคัดย่อภาษาอังกฤษ	๕
กิตติกรรมประกาศ	๙
สารบัญ	๙
สารบัญตาราง	๑๐
สารบัญรูป	๑๖
การเทียบศัพท์	๗
บทที่ 1. บทนำ	๑
1.1 ความเป็นมา	๑
1.2 วัสดุประสงค์	๒
1.3 ขอบเขตการวิจัย	๒
บทที่ 2. ทบทวนเอกสาร	๓
2.1 สีข้อม(Dyes)	๓
2.1.1 การมองเห็นสี	๓
2.1.2 การจำแนกสีข้อม	๕
2.1.3 สีข้อมรีแอกทีฟ	๑๐
2.2 การดูดติด	๑๕
2.2.1 ลักษณะทางกายภาพของผงถ่านกัมมันต์	๑๕
2.2.2 ประเภทของการดูดติดผิว	๑๖
2.2.3 ลำดับการดูดติดผิว	๑๘
2.2.4 ปัจจัยที่มีผลต่อการดูดติดผิว	๑๙
2.2.5 โนเมคลาจีแสดงการดูดติดผิว	๒๐
2.2.6 การใช้ผงถ่านกัมมันต์ในการบำบัดน้ำเสียจากโรงฟอกข้อม	๒๑
2.3 การย่อยสลายสีข้อมด้วยชลธีพแบบใช้อากาศ	๒๒

สารบัญ(ต่อ)

หน้า

2.4 ระบบแพคท์	25
2.4.1 ลักษณะทั่วไป	25
2.4.2 ความสามารถในการคุณติดของถ่านจริง ๆ และ ความสามารถในการคุณติดของถ่านในระบบแพคท์	28
2.4.3 ปฏิสัมพันธ์(Interactions) ระหว่างผงถ่านกับมันต์และกลุ่มจุลชีพ	31
2.4.4 ข้อดีของระบบแพคท์	36
2.4.5 ปัจจัยที่มีผลต่อการทำงาน	37
2.4.6 การใช้งานในการบำบัดน้ำเสียจากโรงฟอกย้อม	38
บทที่ 3. แผนงานและการดำเนินการวิจัย	43
3.1 แผนการทดลอง	43
3.1.1 พารามิเตอร์ที่ต้องควบคุม	43
3.1.2 ปริมาณการทดลอง	44
3.1.3 ระยะเวลาที่ใช้ในการทดลอง	45
3.1.4 การกำหนดปริมาณความเข้มข้นของถ่านที่ใช้ในการทดลอง	45
3.2 การเตรียมน้ำเสียจากโรงงานฟอกย้อม	46
3.3 เครื่องมือและอุปกรณ์ที่ใช้ในการทดลอง	46
3.4 ขั้นตอนการดำเนินการทดลอง	50
3.5 วิธีวิเคราะห์และเก็บตัวอย่างน้ำ	51
3.6 ขั้นตอนการเลือกผงถ่านกับมันต์ที่ใช้ในการทดลอง	52
3.7 การคูณรากฐานและควบคุมระบบ	53
บทที่ 4. ผลการวิจัยและการวิเคราะห์ผล	55
4.1 การเลือกชนิดของผงถ่านกับมันต์	55
4.2 ผลการทำงานของระบบแยกทิวeteclasticticที่มีการเติมผงถ่านภายใต้ สภาพต่าง ๆ	70

สารบัญ(ต่อ)

หน้า

4.3 อิทธิพลของผงถ่านกัมมันต์ที่มีต่อระบบแยกทิวeteidสลัดช์	79
4.3.1 การกำจัดซีโอดีและสี	79
4.3.2 การเกิดฟอง	89
4.3.3 การเปลี่ยนแปลงมวลจุลชีพ	90
4.3.4 ลักษณะการตกตะกอน	92
4.3.5 ลักษณะจุลินทรีย์ในระบบ	93
4.4 การเปรียบเทียบถ่านธรรมชาติกับถ่านในระบบแพคท์	96
4.4.1 ความสามารถในการดูดติด	96
4.4.2 ปริมาณผงถ่านกัมมันต์ที่ใช้	100
4.5 ค่าใช้จ่ายของผงถ่านกัมมันต์ที่ใช้ในระบบ	104
4.6 ข้อสังเกตเพิ่มเติมจากขอบเขตงานวิจัย	105
บทที่ 5. ความสำคัญของงานวิจัยในทางวิศวกรรมสิ่งแวดล้อม	110
บทที่ 6. สรุปผลการทดลอง	111
บทที่ 7. ข้อแนะนำสำหรับการทำวิจัยเพิ่มเติม	113
รายการอ้างอิง	114
ภาคผนวก ก ผลการทดลองครั้งที่ 1	119
ภาคผนวก ข ผลการทดลองครั้งที่ 2	129
ภาคผนวก ค ผลการทดลองครั้งที่ 3	139
ภาคผนวก ง ลักษณะเฉพาะของผงถ่านกัมมันต์ที่นำมาทดสอบ Isotherm test	149
ภาคผนวก จ ค่า Absorbance ของน้ำเสียจากโรงฟอกย้อม ที่ได้จากการทำ Isothermtest	151
ภาคผนวก ฉ ตัวอย่างรายการคำนวณ	154
ประวัติผู้เขียน	158

สารบัญตาราง

หน้า

ตารางที่ 2.1 ประเภทของสีแบ่งตามความขาวคลื่น	3
ตารางที่ 2.2 ประเภทของสีข้อม	7
ตารางที่ 2.3 ความสัมพันธ์ระหว่างโครงสร้างทางเคมีของเส้นใยบางประเภทกับ ประเภทของสีข้อมที่ใช้	9
ตารางที่ 2.4 เปลอร์เซนต์การกระจายตามกลุ่มลักษณะ โครงสร้างทางเคมีของสีรีแอกทีฟ แบ่งตามวาระและสี	10
ตารางที่ 2.5 กลุ่มสีรีแอกทีฟของสีข้อมรีแอกทีฟของโรงงานต่าง ๆ ที่ผลิตในโลก	12
ตารางที่ 2.6 การกำจัดซีโอดีและสีของน้ำเสียที่เกิดจากการข้อมสีรีแอกทีฟ โดยระบบแพคท์	39
ตารางที่ 2.7 ลักษณะน้ำเสียจากสีข้อมประเภท Dyes และ Pigments	40
ตารางที่ 2.8 รายละเอียดในการทดลองห้องทึ่ง 5 ชุดของ EPA	41
ตารางที่ 2.9 ผลการทดลองของ EPA	41
ตารางที่ 2.10 %การกำจัดซีโอดีและสีที่เพิ่มน้ำ	42
ตารางที่ 3.1 พารามิเตอร์ต่าง ๆ ที่ต้องควบคุม	43
ตารางที่ 3.2 ปริมาณการทดลอง	44
ตารางที่ 3.3 ระยะเวลาในการทำการทดลอง	45
ตารางที่ 3.4 ปริมาณผงถ่านที่ต้องเติมในแต่ละวัน	51
ตารางที่ 3.5 วิธีวิเคราะห์พารามิเตอร์ต่าง ๆ	51
ตารางที่ 3.6 รายละเอียดของข้อมูลที่ต้องทำการวิเคราะห์	52
ตารางที่ 4.1 การหาเวลาสัมผัสที่เหมาะสม (น้ำเสียจากโรงงานแรก)	55
ตารางที่ 4.2 ผลการทำ ISOTHERM TEST จากน้ำทึ่งโรงฟอกข้อมแห่งแรก	57
ตารางที่ 4.3 การหาเวลาสัมผัสที่เหมาะสม (น้ำเสียจากโรงงานแห่งที่สอง)	60
ตารางที่ 4.4 ผลการทำ ISOTHERM TEST จากน้ำทึ่งโรงฟอกข้อมแห่งที่สอง	62

สารบัญตาราง (ต่อ)

หน้า

ตารางที่ 4.5 ค่าเฉลี่ยและค่าส่วนเบี่ยงเบนมาตรฐานในช่วง steady state ของพารามิเตอร์ต่าง ๆ ในการทดลองครั้งที่ 1	70
ตารางที่ 4.6 ค่าเฉลี่ยและค่าส่วนเบี่ยงเบนมาตรฐานในช่วง steady state ของพารามิเตอร์ต่าง ๆ ในการทดลองครั้งที่ 2	73
ตารางที่ 4.7 ค่าเฉลี่ยและค่าส่วนเบี่ยงเบนมาตรฐานในช่วง steady state ของพารามิเตอร์ต่าง ๆ ในการทดลองครั้งที่ 3	76
ตารางที่ 4.8 % กำจัดซีโอดีและสี	79
ตารางที่ 4.9 ค่า Absorbance ของน้ำเสียและน้ำทึบที่ความยาวคลื่นค่าต่าง ๆ	81
ตารางที่ 4.10 MLSS ในแต่ละการทดลอง	90
ตารางที่ 4.11 ผลค่าคงระหว่างมวลจุลชีพที่ได้จากการวัดกับการคำนวณ	91
ตารางที่ 4.12 ความสามารถในการกำจัดซีโอดีและสีของถ่านธรรมชาติ และถ่านในระบบแพคท์	97
ตารางที่ 4.13 ปริมาณผงถ่านกัมมันต์ที่ใช้ในการบำบัดน้ำเสียใหม่ ซีโอดี เหลือในระดับต่าง ๆ	101
ตารางที่ 4.14 ปริมาณผงถ่านกัมมันต์ที่ใช้ในการบำบัดน้ำเสียใหม่ สี เหลือในระดับต่าง ๆ	102
ตารางที่ 4.15 สภาพของชุดการทดลองเรื่องการกำจัดสี	105
ตารางที่ 4.16 สีและซีโอดีของน้ำเสียภายหลังที่ตั้งทิ้งไว้นาน 1 และ 2 วัน	105
ตารางที่ 4.17 ผลการวิเคราะห์น้ำเสียในการทดลองครั้งที่ 3. เมื่อเวลาผ่านไป 11 วัน	108

สารบัญรูป

หน้า

รูปที่ 2.1	รูปตัดแสดงรูปrunของถ่านกัมมันต์เปรียบเทียบกับเซลล์จุลชีพ	15
รูปที่ 2.2	ลักษณะโครงสร้างของโมเลกุลของถ่านกัมมันต์ที่มี Functional Group ประเภท Quinone-type Carbonyl Group	16
รูปที่ 2.3	Functional Group ประเภทต่าง ๆ	17
รูปที่ 2.4	ตัวอย่างการคุณติดทางเคมีของถ่านกัมมันต์	18
รูปที่ 2.5	Acid Orange 7 และ Acid Red 151	24
รูปที่ 2.6	ลักษณะโดยทั่วไปของระบบแพคท์	26
รูปที่ 2.7	ส่วนประกอบต่าง ๆ ของน้ำเสีย	27
รูปที่ 2.8	ความสามารถในการคุณติดของถ่านในระบบแพคท์ ณ ค่าอายุตะกอนต่าง ๆ และความสามารถในการคุณติดของถ่านธรรมชาติ	29
รูปที่ 2.9	กราฟแสดงการเปรียบเทียบความสามารถในการคุณติดของถ่าน ^{ในระบบแพคท์กับความสามารถในการคุณติดของถ่านธรรมชาติ}	30
รูปที่ 2.10	โนมแคลแสดงชั้นฟิล์มของถ่านกัมมันต์	32
รูปที่ 3.1	ถังปฏิริยาที่ใช้ในการทดลอง	47
รูปที่ 3.2	รายละเอียดการเดินระบบแพคท์	48
รูปที่ 3.3	Model ที่ใช้ในการวิจัย	49
รูปที่ 4.1	ความสัมพันธ์ระหว่าง ซีโอดีที่เหลือจากการคุณติดกับเวลาสัมผัส	56
รูปที่ 4.2	Isotherm Test ซีโอดีเป็นสารถูกคุณติด	58
รูปที่ 4.3	Isotherm Test สีเป็นสารถูกคุณติด	59
รูปที่ 4.4	ความสัมพันธ์ระหว่าง ซีโอดีที่เหลือจากการคุณติดกับเวลาสัมผัส	61
รูปที่ 4.5	Isotherm Test ซีโอดีเป็นสารถูกคุณติด	63
รูปที่ 4.6	Isotherm Test สีเป็นสารถูกคุณติด	64
รูปที่ 4.7	ลักษณะทางกายภาพของผงถ่านกัมมันต์ชนิด PL.75 เมื่อขยาย 200 เท่า	66
รูปที่ 4.8	ลักษณะทางกายภาพของผงถ่านกัมมันต์ชนิด WPX. เมื่อขยาย 200 เท่า	67

สารบัญรูป (ต่อ)

หน้า

รูปที่ 4.9 ลักษณะทางกายภาพของผงถ่านกัมมันต์ชนิด PC.115 เมื่อขยาย 200 เท่า	67
รูปที่ 4.10 ลักษณะทางกายภาพของผงถ่านกัมมันต์ชนิด PL.75 เมื่อขยาย 7500 เท่า	68
รูปที่ 4.11 ลักษณะทางกายภาพของผงถ่านกัมมันต์ชนิด WPX. เมื่อขยาย 7500 เท่า	69
รูปที่ 4.12 ลักษณะทางกายภาพของผงถ่านกัมมันต์ชนิด PC.115 เมื่อขยาย 7500 เท่า	69
รูปที่ 4.13 ผลของการทดลองครั้งที่ 1	71
รูปที่ 4.14 ผลของการทดลองครั้งที่ 2	74
รูปที่ 4.15 ผลของการทดลองครั้งที่ 3	77
รูปที่ 4.16 ความสัมพันธ์ระหว่าง %กำจัดซีโอดีกับความเข้มข้นของผงถ่าน ที่เติมในระบบ AS	82
รูปที่ 4.17 ความสัมพันธ์ระหว่าง %กำจัดซีโอดีที่เพิ่มขึ้นจากหน่วยควบคุม กับความเข้มข้นของผงถ่านที่เติมในระบบ AS	83
รูปที่ 4.18 ซีโอดีที่เหลือจากการเบี่ย่าที่ความเข้มข้นของผงถ่านค่าต่าง ๆ	84
รูปที่ 4.19 ความสัมพันธ์ระหว่าง %กำจัดสี กับความเข้มข้นของผงถ่านที่เติมในระบบ AS.	85
รูปที่ 4.20 ความสัมพันธ์ระหว่าง %กำจัดสีที่เพิ่มขึ้นจาก หน่วยควบคุม กับ ความเข้มข้นของผงถ่าน ที่เติมในระบบ AS.	86
รูปที่ 4.21 สีที่เหลือจากการเบี่ย่า ที่ความเข้มข้นของผงถ่านค่าต่าง ๆ	87
รูปที่ 4.22 การเปรียบเทียบลักษณะการเกิดฟองของระบบแยกทิเวเต็คสลัคเจ [®] และระบบแพคท์	89
รูปที่ 4.23 ความสัมพันธ์ระหว่าง V_{30} กับ ความเข้มข้นของผงถ่านเทียบกับน้ำเสียเข้า	92
รูปที่ 4.24 ความสัมพันธ์ระหว่าง SVI. กับ ความเข้มข้นของผงถ่านเทียบกับน้ำเสียเข้า ..	93
รูปที่ 4.25 จุลินทรีย์ในระบบแยกทิเวเต็คสลัคเจ [®] อายุตะกอน 7 วัน (หน่วยควบคุม)	94
รูปที่ 4.26 จุลินทรีย์ผสมรวมกับผงถ่านในระบบแพคท์ อายุตะกอน 7 วัน (ระบบแพคท์).....	94
รูปที่ 4.27 จุลินทรีย์ในระบบแยกทิเวเต็คสลัคเจ [®] เมื่อถ่ายด้วย SEM ขยาย 7500 เท่า อายุตะกอน 7 วัน (หน่วยควบคุม).....	95

สารบัญรูป (ต่อ)

หน้า

รูปที่ 4.28 จุลินทรีย์ในระบบแพคท์เมื่อถ่ายด้วย SEM ขยาย 7500 เท่า	
อายุคงgon 7 วัน (ระบบแพคท์)	95
รูปที่ 4.29 การเปรียบเทียบความสามารถในการดูดซึมน้ำของถ่านธรรมชาติ และถ่านในระบบแพคท์	98
รูปที่ 4.30 การเปรียบเทียบความสามารถในการดูดซึมน้ำของถ่านธรรมชาติ และถ่านในระบบแพคท์	99
รูปที่ 4.31 ปริมาณผงถ่านที่ใช้ในการกำจัดเชื้อโดยการดูดซึมผิวเปรียบเทียบ กับระบบแพคท์	101
รูปที่ 4.32 ปริมาณผงถ่านที่ใช้ในการกำจัดเชื้อโดยการดูดซึมผิวเปรียบเทียบ กับระบบแพคท์	103
รูปที่ 4.33 ลักษณะน้ำเสียเมื่อเริ่มต้น	106
รูปที่ 4.34 ลักษณะน้ำเสียเมื่อผ่านไป 2 วัน	106
รูปที่ 4.35 การเปรียบเทียบ % กำจัดเชื้อโดยกับเวลาของชุดการทดลองต่าง ๆ	107
รูปที่ 4.36 การเปรียบเทียบ % กำจัดเชื้อกับเวลาของชุดการทดลองต่าง ๆ	107

การเทียบศัพท์

ภาษาไทย	ภาษาอังกฤษ
การดูดติด	Adsorption
การดูดติดทางเคมี	Chemisorption
การดูดติดผิวทางกายภาพ	Physisorption
การปรับคืนสภาพทางชีวภาพ	Bioregeneration
การปรับชินสภาพ	Acclimatization
การแพร่ผ่านเข้าไปในโพรง	Pore Diffusion
การแพร่ผ่านผิวฟิล์ม	Film Diffusion
การย่อยสลายโดยสิ่งมีชีวิต	Biotic Degradation
การย่อยสลายที่ไม่ได้เกิดจากลิงมีชีวิต	Abiotic Degradation
ความสามารถดูดติดของถ่านกัมมันต์ในระบบแพคท์	Apparent Loading
ชั้นฟิล์มที่ไม่มีอากาศ	Anaerobic Boundary
ชั้นฟิล์มที่อากาศเข้าถึง	Aerobic Boundary
ถังการ์บอนแบบเกร็ค	Granular Activated Carbon Column
บ่อเติมอากาศ	Aerated Lagoons
ผงถ่านกัมมันต์	Powder Activated Carbon
พันธะโคوالเดนท์	Covalent Bond
ภาระปริมาณน้ำ	Hydraulic Loading
ภาระอินทรีย์	Organic Loading
มาโครพอร์	Macro Pores
ไมโครพอร์	Micro Pores
ระบบแพคท์	Powder Activated Carbon Treatment

การเทียบศัพท์ (ต่อ)

ภาษาไทย	ภาษาอังกฤษ
แรงดึงดูดระหว่างมวล	Van der Waals Forces
ลักษณะการตกตะกอน	Settling Characteristics
วาระณสี	Hue
สภาพที่เป็นข้าว	Polarity
สภาวะเสริม(ราชบัณฑิตยสถาน,2529)	Synergy
สมบัติ	Property
ถลัดจล	Sludge
ส่วนเบี่ยงเบนมาตรฐาน	Standard deviation
สัมประสิทธิ์สหสัมพันธ์	Correlation Coefficient
สารกระจายตัว	Dispersing Agent
สารซักฟอก	Detergent
สารถูกดูดติด	Adsorbate
สารพา	Carrier
สีข้อม	Dyes
สีข้อมแบบมีประจุ	Ionic Dyes
สีข้อมประจุบวก	Cationic Dyes
สีข้อมประจุลบ	Anionic Dyes
สีข้อมรีแอกทีฟ	Reactive Dyes
เส้นใยที่มีประจุ	Ionic Substrates
เส้นใยที่ไม่ชอบน้ำ	Hydrophobic Fibres
เส้นใยที่ไม่มีประจุ	Non-Ionic Substrates
อันตรกิริยา	Interactions